

III-39 作図による浅海波の一般的計算法と、伊勢湾台風による福江港外の波について。

元々港湾建設局 正員 坂本信雄
 運輸技術研究所 正員 〇工博 井島武士
 “ “ 正員 佐藤昭二
 “ “ 正員 青野 尚

要旨

浅海波と推定するには、Malitor⁽¹⁾、Thijssse⁽²⁾或はBretschneider⁽³⁾の方法がある。Malitorの方法は、水深との関係が不明で又周期は全く与えらるゝない。Thijssseの方法は、平均水深との関係が未だ不明で、周期及び波高が与えらるゝが、その関係は実験から導かれており、実測値との比較によると、波高は過大で周期は過少であり、又現在最も信頼度の高いSverdrup-Munk-Bretschneiderの深海波との接続は連続的でないという欠点がある。BretschneiderはPutnam-Johnsonの海底摩擦によるエネルギー損失による波高減少の考之方から、実測値との比較により、摩擦係数 $f=0.01$ を用いて深海波における $\frac{gH}{C}$ vs. $\frac{gH}{C}$ の關係から一定水深における風速と水深及び波高の關係を導いてゐる。又周期については、深海波の $\frac{gH}{C}$ vs. $\frac{gT}{2\pi D}$ の關係を適用することと示してゐる。この結果は我々の実測値と比較すると、最も妥当な値と与ふる。然し乍ら之ら依りたる方法によつても風速の時間的且場所的变化がある場合、及び高潮による水位の時間的変化が起り、之に海底の不規則が入つて来る場合は、計算不能である。實際には伊勢湾台風の場合について考之ても沿岸距離は40~50kmにすぎない海内でも、台風進路及び進行速度の影響によつて、風速の時間的変化及び場所的变化と高潮の影響と与えらるゝは、現象を明確に理解することが出来ぬ。その為著者はBretschneiderの与えたる一定水深の場合の浅海波の波高と水深の關係とB.Wilson⁽⁴⁾の用ゝる図式解法に依りて、上記の諸条件とすべく合人の場合の浅海波の図式計算法を作つた。之を我々の福江港外における伊勢湾台風時の波の実測記録と比較し、その合致が充分満足すべきものであることを確めた。この方法は次の限り利點とあつてゐる。(i)風速、水位の時間的場所的变化による影響を含まずが出来る。(ii)海底地形の不規則性を含むことが出来る。(iii)H-t-F-Cg diagramによつて、すべて圖上で計算出来る。(iv)風速、水位の條件が与えらるゝは、全く任意性を含まない解答が求められる。

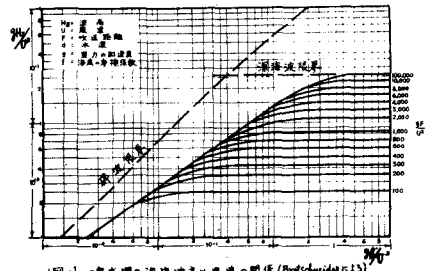


図1 一定水深の浅海波高と風速の關係(Bretschneider=13)

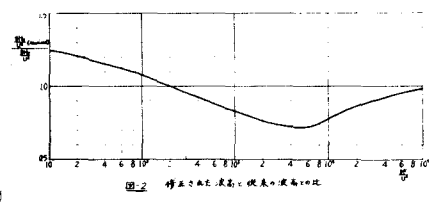


図2 一定風速の浅海波高と伝送距離の關係

第1章 図式解法

(I) H-t-F-Cg diagramの作成

Bretschneider (1958)の与えたる一定水深における浅海波の波高 H_0 と水深 d 及び伝送距離 F と風速 U の關係は図-1の

如くである。(gは重力の加速度)但しこの関係は、彼のみ
 之下修正された深海波の $\frac{gH}{C^2}$ と $\frac{gF}{C^2}$ との関係と比較すると
 $\frac{gF}{C^2}$ によつて修正すべきであり、その修正係数は図-2の
 如くである。即ち図-1による Hs は $\frac{gF}{C^2}$ によつて決まる π と乗
 ずる必要がある。周期については Bretschneider の深海波で
 の $\frac{gH}{C^2}$ と $\frac{gT}{2\pi C}$ の関係を用いるものとする。之と図-3の實線
 で示している。図-3の破線は観測値からの関係であるが、
 比較では深海波との接続を考へて、實線を用いる。図-1
 及び図-3から水深 30m, 20m, 15m, 10m 及び
 10m, 8m, 6m, 4m について風速 30%, 25%,
 20%, 15% 及び 10% に対して作つたのが図-4の
 H-F-Cg diagram である。水平軸の右側に距離
 左側に群速度、鉛直軸の上方に波高と周期、下
 方に時間を取つて波高曲線、進行曲線、群速度
 曲線及び周期曲線を示している。

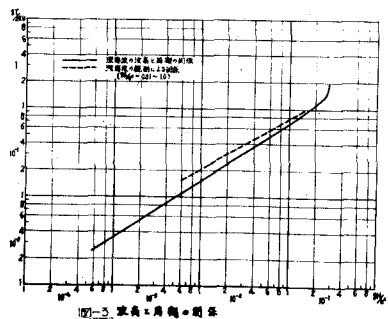


図-2 波高・距離・関係

(II) 風域図の作成

図-4の H-F-Cg diagram の距離及び時間の縮
 尺と同じ縮尺で、F-C 平面上に深めらた方向
 の線分域上の風速分布及び水位変化による等深
 線の分布を記入した風域図を作成する。之に前述の
 風速と水位の時間的及び場所的变化が表わされ
 る。(図-1に参照)

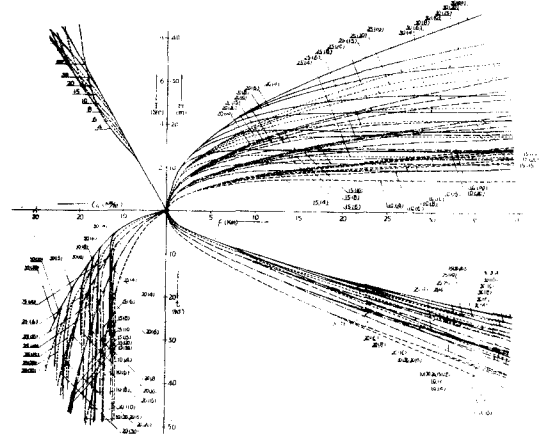


図-4 H-F-Cg Diagram

(III) 作図法

- (i) 水深一定で風速が増加するとき、図-5に示す順序で作図する。この時は風速の変化に対して波高及び群速度は連続という条件を満すことにする。
- (ii) 水深一定で風速が減少するとき、図-6に示す順序で作図する。
- (iii) 風速が一定で水深が変るとき

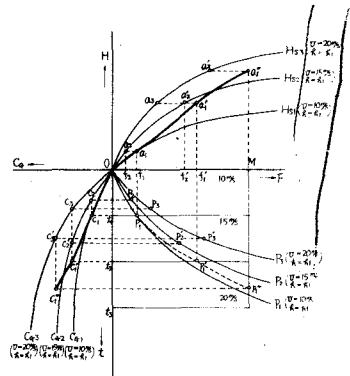


図-5 水深一定で風速が増加するときの作図法

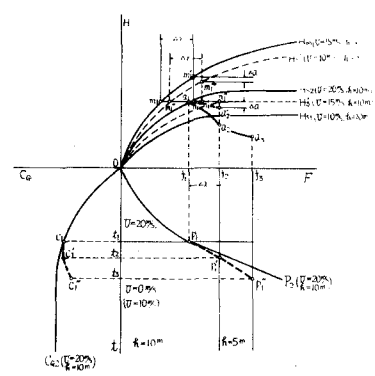


図-6 風速が減少するときの作図法

この時は水深が変わつても、群速度及び波高は連続という条件を満すことにする。水深が深
 くなる時は、(i)の場合と全く同じである。水深が浅くなる時は(ii)の考へ方と類似の方
 法による。(図-7) 水深が浅くなる時及び風速が減少するときでも波高及び群速度が増
 加する場合は、夫々(i)及び(iii)の場合と全く同じである。(図-8) 然し波高及び群速度が減
 少するときは、異なる考へ方を用いねばならぬ。即ち或る波高 Q の状態で、一定水深 h
 を Δx だけ進んだ後の波高の減少量を見出すには、水深 h のとき無限大の距離で波高 Q

を示す如き風速と図から内挿によって求め、その風速での深海波の波高曲線上での波高 a と吹送距離に Δx を加えて吹送距離での波高 a' と a との差を以て、その波高減少量とする。又波高 a で風速 v を變り乍ら、進行する波の Δx 進んだ後の波高増加量は、風速 v の深海波の波高曲線上で、上述の手続を行って求めらる。 (図-9)

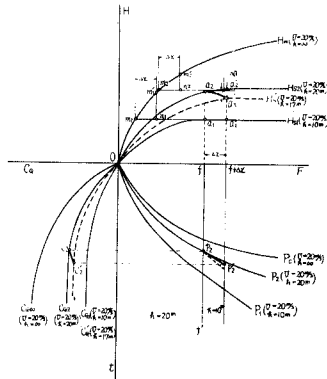


図-7 風速一定で水深が減少する時の作図法 (波高減少の場合)

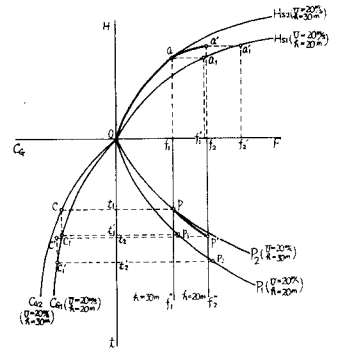


図-8 風速一定で水深が減少する時の作図法 (波高増加の場合)

此の様にしてすべての場合の波高変化を作図によって求めることが出来る。この考え方は波高と群速度が連続という条件を満たすが、図-10に示す様に等エネルギー線(等 H^2L 線)が大体平行で且つ水平であるから、エネルギー連続という条件も、近似的に満たしている。

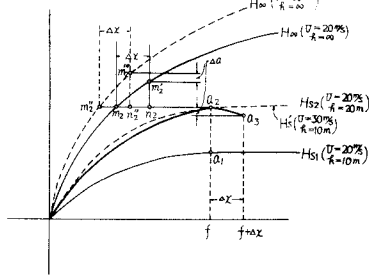


図-9 風速一定で水深が減少する時の作図法 (波高減少の場合)

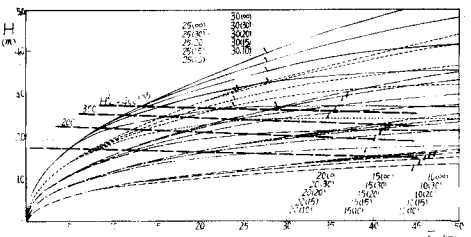


図-10 等エネルギー線 (等 H^2L 線)の作図法

才工算 伊勢湾台風による福江港外の波の観測値との比較

(I) 福江港附近の一般的条件

図-11は渥美湾福江港、小中山観測所附近の平面図を示す。水位は小中山観測所及び伊勢の驗潮記録を用い、又風速は田原港及び小中山観測所の観測値を用い、ENE方向の風域を取り、次の仮定によつて風域図を作った。(i) 風向は何時迄E~ESEとあるから風速は観測値を用い、と取り、田原港の風速を風上端、小中山観測所の風速を風下端とし、その中間は直線的に變る。(ii) 何時以降は、風向がSEに變るからENE方向については風速は0となるものとする。

此の風域図で細い実線は、風速分布、莫線は水深変化、太い実線は作図による波高、群速度及び進行曲線である。これより小中山観測所方面の水深8mでの波高及び周期を求めた。観測値は

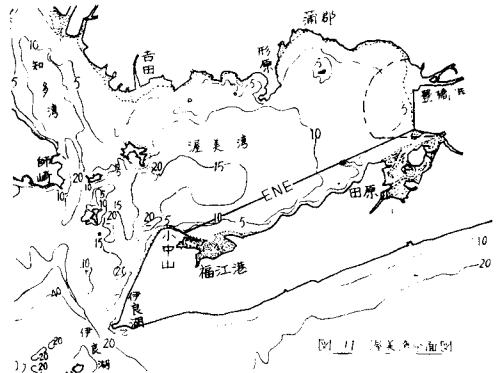


図-11 渥美湾平面図

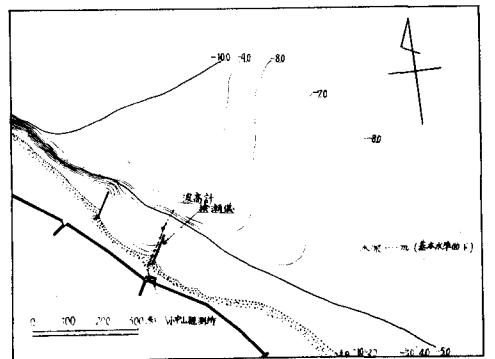


図-12 福江港外小中山観測所附近平面図

水深6mでの値である。屈折係数及び浅水度係数は、海底地形から検討して、概ね0.8人と1に近い値を取る。図-13はこの計算による波高と図-2に示す波高及び周期、実測による月と波及び潮位と記入してある。之等の結果から、計算値と実測値の合致は良好であり、我々の作図法が妥当であり事が略実証される。尚引續いて名古屋港及び四日市港での波高検討中である。

此の研究には北海道開発局函館開発建設部勤務総務課理府技官、荒木一郎氏の協力を得た。茲に厚く感謝の意を表するものである。

文献

- (1) D.A. Molitor: "Wave Pressures on Seawalls and Breakwaters." Trans. A.S.C.E. vol. 100, 1935
- (2) J. Th. Thijsse: "Growth of Wind-Generated Waves and Energy Transfer." Proc. Symposium on Gravity Waves, National Bureau of Standards, Circular 521, Nov. 1952
- (3) C.L. Bretschneider: "Modification of Wave Height due to Bottom Friction, Percolation and Refraction." Technical Memorandum No. 45, Oct. 1954, Beach Erosion Board, Corps of Engineers.
 " " : "Field Investigation of Wave Energy Loss in Shallow Water Ocean Waves." Tech. Memo. No. 46, Sept. 1954, B.E.B.
 " " : "Generation of Wind Waves over a Shallow Bottom." Tech. Memo. No. 51, Oct. 1954, B.E.B.
 " " : "Wave Forecasting Relationships for the Gulf of Mexico." Tech. Memo. No. 84, Dec. 1956, B.E.B.
 " " : "Revisions in Wave Forecasting: Deep and Shallow Water." Proc. 6th Conf. on Coastal Engineering, Council on Wave Research, The Engineering Foundation, 1958
 Beach Erosion Board: "Shore Protection Planning and Design." U.S. Government Printing Office, 1958
- (4) B.W. Wilson: "Graphical Approach to the Forecasting of Waves in Moving Fetches." Tech. Memo. No. 73, April 1955, B.E.B.

